

21世纪 高等教育·独立学院规划教材



010

模拟电子技术

主编 / 江小安

主审 / 孙肖子

电子技术
MONIDIANZIJISSHU



西北大学出版社
NORTHWEST UNIVERSITY PRESS

陕西省教育厅重点教材建设项目

模拟电子技术

主编 / 江小安

副主编 / 邵思飞 沈金根 高丽



西北大学出版社
NORTHWEST UNIVERSITY PRESS

图书在版编目(CIP)数据

模拟电子技术 / 江小安主编. — 西安: 西北大学出版社, 2006.10
ISBN 7-5604-2164-4

I . 模... II . 江... III . 模拟电路 - 电子技术
IV . TN710

中国版本图书馆 CIP 数据核字(2006)第 118435 号

模拟电子技术

主 编 江小安

出版发行	西北大学出版社	社 址	西安市太白北路 229 号
电 话	029 - 88303042	邮 政 编 码	710069
经 销	新华书店	印 刷	陕西向阳印务有限公司
版 次	2006 年 10 月第 1 版	印 次	2006 年 10 月第 1 次印刷
开 本	787×1092 1/16	印 张	14.25
字 数	330 千字	印 数	1—2000
书 号	ISBN 7-5604-2164-4/TN · 7	定 价	22.00 元

前　　言

本教材是陕西省教育厅为适应高等教育发展的需要,培养本科应用型人才而组织编写的高等教育规划教材。

编写本教材的指导思想是:适当压缩理论部分,突出基本要求及与技能和实践有关的部分,减少数学公式的推导,尽可能地从物理概念去描述问题的实质。

模拟电子技术工程性质较强,在分析问题时往往为了突出主要因素而忽略一些次要因素,采用了近似分析和计算的方法。学习本课程除理论部分外,还应同步开出实验内容,有条件的学校建议同时开设“电子设计自动化”(EDA)课程。做实验时首先在计算机上虚拟模拟现实,然后再用硬件实现,这样可以加深对该课程内容的理解和掌握,同时也能掌握先进的电子技术设计工具和方法。

建议授课时数 74 学时。理论课 54 学时(通信、电子信息工程专业至少授课 64 学时,其他专业可以参考此学时数,对内容进行适当地调整和增减),实验课 20 学时。

西安电子科技大学江小安担任主编,同时负责全书的统纂。延安大学创新学院邵思飞、西北工业大学明德学院沈金根、西安工业大学高丽担任副主编。西安电子科技大学江小安、延安大学创新学院邵思飞、西安工业大学高丽编写第一章、第二章、第三章;李传荣编写第四章、第五章、第六章;宫丽编写第七章;侯亚玲编写第八章。

西安电子科技大学孙肖子教授担任本书的主审,仔细阅读了全部书稿并提出了宝贵的修改意见,在此致以衷心的谢意。

由于时间和水平有限,本书难免会存在一些问题和错误之处,望使用本书的老师、学生和广大读者批评指正。

编　者

2006 年 10 月

符 号 说 明

一、基本符号

q	电荷	L	电感
φ	磁通	C	电容
I, i	电流	M	互感
U, u	电压	Z	阻抗
P, p	功率	X	电抗
W, w	能量	Y	导纳
R, r	电阻	B	电纳
G, g	电导	A	放大倍数

二、电压、电流

英文小写字母 $u(i)$, 其下标若为英文小写字母, 则表示交流电压(电流)瞬时值(例如, u_o 表示输出交流电压瞬时值)。

英文小写字母 $u(i)$, 其下标若为英文大写字母, 则表示含有直流的电压(电流)瞬时值(例如, u_0 表示含有直流的输出电压瞬时值)。

英文大写字母 $U(I)$, 其下标若为英文小写字母, 则表示正弦电压(电流)有效值(例如, U_o 表示输出正弦电压有效值)。

英文大写字母 $U(I)$, 其下标若为英文大写字母, 则表示直流电压(电流)有效值(例如, U_0 表示输出直流电压)。

\dot{U}, \dot{I} 正弦电压、电流相量(复数量)

U_m, I_m 正弦电压、电流幅值

U_Q, I_Q 电压、电流的静态值

U_f, I_f 反馈电压、电流有效值

U_{CC}, U_{EE} 集电极、发射极直流电源电压

U_{BB} 基极直流电源电压

U_{DD}, U_{SS} 漏极和源极直流电源电压

U_s, I_s 直流电压源、电流源

u_s, i_s 正弦电压源、电流源

U_i 输入电压有效值

u_i 含有直流成分输入电压瞬时值

u_i 输入电压瞬时值

U_o, I_o 输出交流电压、电流有效值

u_o 含有直流成分输出电压的瞬时值

U_R	基准电压、参考电压、二级管最大反向工作电压
I_R	参考电流、二级管反向电流
U_-, I_-	运放同相端输入电压、电流
U_-, I_-	运放反相端输入电压、电流
U_{id}	差模输入电压信号
U_{ic}	共模输入电压信号
U_{oim}	整流或滤波电路输出电压中基波分量的幅值
U_{CEQ}	集电极、发射极间静态压降
U_{OH}	运放输出电压的最高电压
U_{OL}	运放输出电压的最低电压
I_{BQ}	基极静态电流
I_{CQ}	集电极静态电流
ΔU_{CE}	直流变化量
Δi_c	瞬时值变化量

三、电阻

R_s	信号源内阻
r_i	输入电阻
r_o	输出电阻
r_{if}	具有反馈时的输入电阻
r_{of}	具有反馈时的输出电阻
r_{id}	差模输入电阻
$R_i(R')$	运放输入端的平衡电阻
R_w	电位器(可变电阻器)
R_c	集电极外接电阻
R_b	基极偏置电阻
R_e	发射极外接电阻
R_L	负载电阻

四、放大倍数、增益

A_u	电压放大倍数 $A_u = U_o / U_i$
A_{us}	考虑信号源内阻时电压放大倍数 $A_{us} = U_o / U_s$, 即源电压放大倍数
A_{ud}	差模电压放大倍数
A_{uc}	共模电压放大倍数
A_{od}	开环差模电压放大倍数
A_{usm}	中频电压放大倍数
A_{usl}	低频电压放大倍数
A_{ush}	高频电压放大倍数

A_f	闭环放大倍数
A_{uf}	具有负反馈的电压放大倍数,即闭环电压放大倍数
A_i	开环电流放大倍数
A_{if}	闭环电流放大倍数
A_r	开环互阻放大倍数
A_{rf}	闭环互阻放大倍数
A_g	开环互导放大倍数
A_{gf}	闭环互导放大倍数
F	反馈系数
A_p	功率放大倍数

五、功率

p	瞬时功率
P	平均功率(有功功率)
Q	无功功率
\tilde{S}	复功率
S	视在功率
λ	功率因数
P_o	输出信号功率
P_c	集电极损耗功率
P_E, P_s	直流电源供给功率

六、频率

f	频率通用符号
ω	角频率通用符号
$f_H(f_b)$	放大电路的上限截止频率。此时放大电路的放大倍数为 $A_{ush} = 0.707 A_{usm}$
$f_L(f_l)$	放大电路的下限截止频率。此时, $A_{usl} = 0.707 A_{usm}$
f_{BW}	通频带(带宽) $f_{BW} = f_H - f_L$
f_{Hf}	具有负反馈时放大电路的上限截止频率
f_{Lf}	具有负反馈时放大电路的下限截止频率
f_{BWF}	具有负反馈时的通频带
f_a	共基极接法时三极管电流放大系数的上限截止频率
f_β	共射极接法时三极管电流放大系数的上限截止频率
f_T	三极管的特征频率
ω_0	谐振角频率、振荡角频率
f_o	振荡频率

七、器件参数

V_D	二极管
-------	-----

U_T	温度电压当量 $U_T = kT/q$ 、增强型场效应管的开启电压
I_D	二极管电流,漏极电流
I_S	反向饱和电流,源极电流
I_F	最大整流电流
U_{on}	二极管开启电压
U_B	PN 结击穿电压,基极直流电压
V_{Dz}	稳压二极管
U_z	稳压管稳定电压值
I_z	稳压管工作电流
I_{zmax}	最大稳定电流
r_z	稳压管的微变电阻
b	基极
c	集电极
e	发射极
I_{CBO}	发射极开路、集-基极间的反向饱和电流
I_{CEO}	基极开路、集-射极间的穿透电流
I_{CM}	集电极最大允许电流
P	空穴型半导体
N	电子型半导体
n	电子浓度
p	空穴浓度
$r_{bb'}$	基区体电阻
$r_{b'e}$	发射结的微变等效电阻
r_{be}	共射接法下,基-射极间的微变电阻
r_{ce}	共射接法下,集-射极间的微变电阻
α	共基接法下,集电极电流的变化量与发射极电流的变化量之比,即 $\alpha = \Delta I_C / \Delta I_E$
$\bar{\alpha}$	从发射极到达集电极的载流子的百分数,或 $\bar{\alpha} = I_C / I_E$
β	共射接法下,集电极电流的变化量与基极电流的变化量之比,即 $\beta = \Delta I_C / \Delta I_B$
$\bar{\beta}$	共射接法下,不考虑穿透电流时 I_C 与 I_B 的比值
g_m	跨导
BU_{EBO}	集电极开路时 e - b 间的击穿电压
BU_{CEO}	基极开路时 c - e 间的击穿电压
U_{IO}, I_{IO}	集成运放输入失调电压、失调电流
I_{IB}	集成运放输入偏置电流
V	三极管
S_R	集成运放的转换速率
D	场效应管漏极
G	场效应管栅极

S	场效应管源极、整流电路的脉动系数
U_P	场效应管夹断电压
r_{DS}	场效应管漏源间的等效电阻
I_{DSS}	结型、耗尽型场效应管 $U_{GS}=0$ 时的 I_D 值
CMRR	共模抑制比
CMR	用分贝表示的共模抑制比, 即 $20\lg CMRR$
Q	静态工作点、LC 回路的品质因数
τ	时间常数
η	效率
$\varphi(\theta)$	相角
φ_F	反馈网络的相移

目录

CONTENTS

1.1 半导体基础知识	/1
1.1.1 本征半导体	/1
1.1.2 杂质半导体	/2
1.2 PN结	/3
1.2.1 异型半导体接触现象	/3
1.2.2 PN结的单向导电特性	/3
1.2.3 PN结的击穿	/5
1.2.4 PN结的电容效应	/5
1.2.5 半导体二极管	/6
1.2.6 稳压二极管	/10
1.2.7 二极管的应用	/11
1.2.8 其他二极管	/13
1.3 半导体三极管	/14
1.3.1 三极管的结构及类型	/14
1.3.2 三极管的3种连接方式	/15
1.3.3 三极管的放大作用	/15
1.3.4 三极管的特性曲线	/18
1.3.5 三极管的主要参数	/20
1.3.6 温度对三极管参数的影响	/21
思考题和习题	/23
第二章 放大电路分析基础	
2.1 放大电路工作原理	/26
2.1.1 放大电路的组成原理	/26
2.1.2 直流通路和交流通路	/27
2.2 放大电路的直流工作状态	/27
2.2.1 解析法确定静态工作点	/28
2.2.2 图解法确定静态工作点	/28
2.2.3 电路参数对静态工作点的影响	/30
2.3 放大电路的动态分析	/31

2.3.1	图解法分析动态特性	/31
2.3.2	放大电路的非线性失真	/32
2.3.3	微变等效电路法	/34
2.3.4	3种基本组态放大电路的分析	/36
2.4	静态工作点的稳定及其偏置电路	/42
2.5	多级放大电路	/47
2.5.1	多级放大电路的耦合方式	/47
2.5.2	多级放大电路的指标计算	/50
2.6	放大电路的频率特性	/53
2.6.1	频率特性的一般概念	/53
2.6.2	三极管的频率参数	/55
2.6.3	共e极放大电路的频率特性	/58
2.6.4	多级放大电路的频率特性	/65
2.7	差动放大器	/67
2.7.1	零点漂移	/67
2.7.2	差动放大电路	/68
思考题和习题		/80

第三章 场效应管放大电路

3.1	结型场效应管	/90
3.1.1	结构	/90
3.1.2	工作原理	/91
3.1.3	特性曲线	/92
3.2	绝缘栅场效应管	/94
3.2.1	N沟道增强型MOS场效应管	/94
3.2.2	N沟道耗尽型MOS场效应管	/95
3.3	场效应管的主要参数	/98
3.3.1	直流参数	/98
3.3.2	交流参数	/98
3.3.3	极限参数	/99
3.4	场效应管的特点	/99
3.5	场效应管放大电路	/100
3.5.1	静态工作点与偏置电路	/101
3.5.2	场效应管的微变等效电路	/103
3.5.3	共源极放大电路	/104
3.5.4	共漏放大器(源极输出器)	/104
思考题和习题		/106

第四章 负反馈放大电路

4.1 负反馈的基本概念	/109
4.1.1 负反馈的基本组成	/109
4.1.2 反馈的基本关系式	/110
4.2 负反馈放大电路类型及其判别	/110
4.2.1 反馈放大电路分类	/111
4.2.2 负反馈放大电路的4种基本组态	/112
4.2.3 负反馈对放大电路性能的影响	/117
4.3.1 对放大倍数和放大倍数稳定性的影响	/117
4.3.2 改善输出波形的非线性失真	/117
4.3.3 展宽放大电路的通频带	/118
4.3.4 负反馈对输入电阻的影响	/118
4.3.5 负反馈对输出电阻的影响	/119
4.4 负反馈放大电路的计算	/120
4.4.1 深度负反馈放大电路的计算	/120
4.4.2 串联电压负反馈估算	/121
4.4.3 串联电流负反馈估算	/121
4.4.4 并联电压负反馈估算	/122
4.4.5 并联电流负反馈估算	/123
思考题和习题	/124

第五章 集成运算放大器

5.1 集成运算放大器简介	/127
5.1.1 集成运算放大器的电路构成及特点	/127
5.1.2 主要技术指标	/129
5.2 理想集成运放及其分析特点	/130
5.2.1 集成运放的理想化	/130
5.2.2 集成运放的传输特性	/132
5.3 集成运算放大器的线性应用	/133
5.3.1 比例运算电路	/133
5.3.2 加法运算电路	/135
5.3.3 积分和微分运算电路	/137
5.3.4 对数和指数运算电路	/139
5.4 有源滤波电路	/141
5.4.1 低通滤波电路	/142
5.4.2 高通滤波电路	/143
5.4.3 带通滤波电路和带阻滤波电路	/145
5.5 电压比较器	/146

5.5.1 简单电压比较器	第十一章	147
5.5.2 滞回比较器	第十一章	148
思考题和习题	第十一章	151
附录	第十一章	

第六章 波形发生与变换电路

6.1 非正弦波发生器	第十二章	154
6.1.1 矩形波发生器	第十二章	155
6.1.2 三角波发生器	第十二章	157
6.1.3 锯齿波发生器	第十二章	158
6.1.4 波形变换电路	第十二章	159
6.2 正弦波发生器	第十二章	160
6.2.1 反馈式正弦振荡器的组成及原理	第十二章	160
6.2.2 桥式 RC 振荡器	第十二章	161
思考题和习题	第十二章	163
附录	第十二章	165
附录	第十二章	

第七章 低频功率放大电路

7.1 低频功率放大电路概述	第十三章	168
7.1.1 分类	第十三章	168
7.1.2 功率放大器的特点	第十三章	169
7.1.3 提高输出功率的方法	第十三章	169
7.1.4 提高效率的方法	第十三章	170
7.2 互补对称功率放大电路	第十三章	171
7.2.1 双电源互补对称电路(OCL 电路)	第十三章	172
7.2.2 单电源互补对称电路(OTL 电路)	第十三章	177
7.2.3 实际功率放大电路举例	第十三章	177
7.3 集成功率放大器	第十三章	178
7.3.1 内部电路组成简介	第十三章	178
7.3.2 DG4100 集成功率放的典型接线法	第十三章	179
思考题和习题	第十三章	180
附录	第十三章	

第八章 直流电源

8.1 单相整流电路	第十四章	183
8.1.1 单相半波整流电路	第十四章	183
8.1.2 单相全波整流电路	第十四章	185
8.1.3 单相桥式整流电路	第十四章	187
8.2 滤波电路	第十四章	189
8.2.1 电容滤波电路	第十四章	189

8.2.2 其他形式的滤波电路	/191
8.3 倍压整流	/192
8.3.1 二倍压整流电路	/192
8.3.2 多倍压整流电路	/193
8.4 稳压电路	/193
8.4.1 稳压电路的主要指标	/194
8.4.2 硅稳压管稳压电路	/194
8.4.3 串联型稳压电路	/196
8.5 集成稳压电路	/200
8.5.1 基本应用电路	/200
8.5.2 扩大输出电流的电路	/200
8.5.3 扩大输出电压的电路	/201
8.5.4 输出电压可调的电路	/201
8.6 开关稳压电路	/201
8.6.1 串联型开关稳压电源	/202
8.6.2 并联型开关稳压电源	/205
思考题和习题	/207
参考文献	/210

第一章 半导体器件

晶体管电子电路的核心器件是晶体管，而晶体管是由半导体制成的。因此，在讲具体的电子电路之前，应先讲晶体管原理。而要搞清晶体管原理，必须了解半导体的性质及其导电特性。

1.1 半导体基础知识

物质按导电性能可分为导体、绝缘体和半导体。

物质的导电特性取决于原子结构。导体一般为低价元素，如铜、铁、铝等金属，其最外层电子受原子核的束缚力很小，因而极易挣脱原子核的束缚成为自由电子。因此，在外电场作用下，这些电子产生定向运动(称为漂移运动)形成电流，呈现出较好的导电特性。高价元素(如惰性气体)和高分子物质(如橡胶、塑料)最外层电子受原子核的束缚力很强，极不易摆脱原子核的束缚成为自由电子，所以其导电性极差，可作为绝缘材料。而半导体材料最外层电子既不像导体那样极易摆脱原子核的束缚，成为自由电子；也不像绝缘体那样被原子核束缚得那么紧，因此，半导体的导电特性介于二者之间。

1.1.1 本征半导体

纯净晶体结构的半导体称为本征半导体。常用的半导体材料是硅和锗，它们都是4价元素，在原子结构中最外层轨道上有4个价电子。为便于讨论，采用图1-1所示的简化原子结构模型。把硅或锗材料拉制成单晶体时，相邻两个原子的一对最外层电子(价电子)成为共有电子，它们一方面围绕自身的原子核运动，另一方面又出现在相邻原子所属的轨道上。即价电子不仅受到自身原子核的作用，同时还受到相邻原子核的吸引。于是，两个相邻的原子共有一对价电子，组成共价键结构。故晶体中，每个原子都和周围的4个原子用共价键的形式互相紧密地联系起来，如图1-2所示。

共价键中的价电子由于热运动而获得一定的能量，其中少数能够摆脱共价键的束缚而成为自由电子，同时必然在共价键中留下空位，称为空穴。空穴带正电，如图1-3所示。

在外电场作用下，一方面自由电子产生定向移动，形成电子电流；另一方面，价电子也按一定方向依次填补空穴，即空穴产生了定向移动，形成所谓空穴电流。

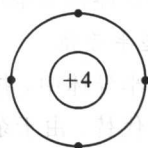


图1-1 硅和锗简化原子结构模型

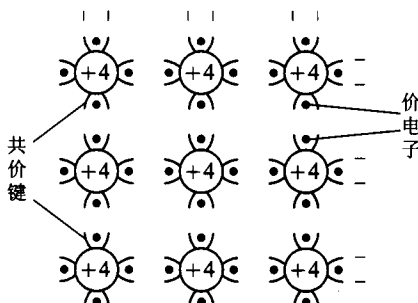


图 1-2 本征半导体共价键晶体结构示意图

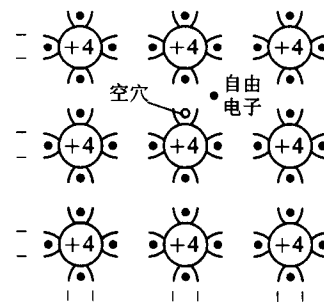


图 1-3 本征半导体中的自由电子和空穴

由此可见，半导体中存在着两种载流子：带负电的自由电子和带正电的空穴。本征半导体中，自由电子与空穴是同时成对产生的，因此，它们的浓度是相等的。我们用 n_i 和 p_i 分别表示电子和空穴的浓度，即 $n_i = p_i$ ，下标 i 表示为本征半导体。

价电子在热运动中获得能量产生了电子—空穴对。同时自由电子在运动过程中失去能量，与空穴相遇，使电子、空穴对消失，这种现象称为复合。在一定温度下，载流子的产生过程和复合过程是相对平衡的，载流子的浓度是一定的。本征半导体中载流子的浓度，除了与半导体材料本身的性质有关以外，还与温度有关，而且随着温度的升高，基本上按指数规律增加。因此，半导体载流子浓度对温度十分敏感。对于硅材料，大约温度每升高 8°C ，本征载流子浓度 n_i 增加 1 倍；对于锗材料，大约温度每升高 12°C ， n_i 增加 1 倍。除此之外，半导体载流子浓度还与光照有关，人们正是利用这一特性，制成光敏器件。

1.1.2 杂质半导体

本征半导体中虽然存在两种载流子，但因本征载流子的浓度很低，所以，它们的导电能力很差。当我们人为地、有控制地掺入少量的特定杂质时，其导电特性将产生质的变化。掺入杂质的半导体称为杂质半导体。

1. N型半导体

在本征半导体中，掺入微量 5 价元素，如磷、锑、砷等，则原来晶格中的某些硅(锗)原子被杂质原子代替。由于杂质原子的最外层有 5 个价电子，因此，它与周围 4 个硅(锗)原子组成共价键时，还多余 1 个价电子。它不受共价键的束缚，而只受自身原子核的束缚，因此，它只要得到较少的能量就能成为自由电子，并留下带正电的杂质离子，它不能参与导电，如图 1-4 所示。显然，这种杂质半导体中电子浓度远远大于空穴的浓度，即 $n_n \gg p_n$ （下标 n 表示是 N 型半导体），主要靠电子导电，所以称为 N 型半导体。由于 5 价杂质原子可提供自由电子，故称为施主杂质。N 型半导体中，自由电子称为多数载流子，空穴称为少数载流子。

杂质半导体中多数载流子浓度主要取决于掺入的杂质浓度。由于少数载流子是半导体材料共价键提供的，因而其浓度主要取决于温度。此时电子浓度

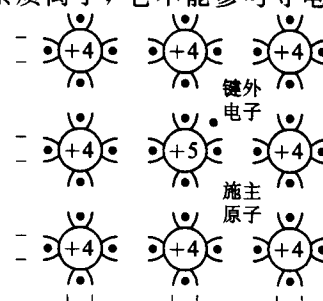


图 1-4 N 型半导体共价键结构

与空穴浓度之间，可以证明有如下关系：

$$n_n \cdot p_n = n_i p_i = n_i^2 = p_i^2$$

即在一定温度下，电子浓度与空穴浓度的乘积是一个常数，与掺杂浓度无关。

2. P型半导体

在本征半导体中，掺入微量3价元素，如硼、镓、铟等，则原来晶格中的某些硅(锗)原子被杂质原子代替。由于杂质原子的最外层只有3个价电子，当它和周围的硅(锗)原子组成共价键时，因为缺少一个电子，所以形成一个空位。其他共价键的电子，只需摆脱一个原子核的束缚，就转至空位上，形成空穴。因此，在较少能量下就可形成空穴，并留下带负电的杂质离子，它不能参与导电，如图1-5所示。显然，这种杂质半导体中空穴浓度远远大于电子浓度，即 $p_p \gg n_p$ (下标p表示是P型半导体)，主要靠空穴导电，所以称为P型半导体。由于3价杂质原子可接受电子，相应地在邻近原子中形成空穴，故称为受主杂质。P型半导体中，自由电子称为少数载流子，空穴称为多数载流子。

P型半导体与N型半导体虽然各自都有一种多数载流子，但对外仍呈现电中性。它们的导电特性主要由掺杂浓度决定。这两种掺杂半导体是构成各种半导体器件的基础。

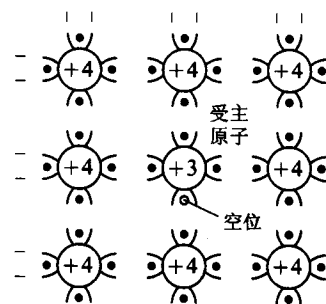


图1-5 P型半导体的共价键结构

1.2 PN结

在一块本征半导体上，用工艺的办法使其一边形成N型半导体，另一边形成P型半导体，则在两种半导体的交界处形成了PN结。PN结是构成其他半导体器件的基础。

1.2.1 异型半导体接触现象

在P型和N型半导体的交界面两侧，由于电子和空穴的浓度相差悬殊，因而将产生扩散运动。电子由N区向P区扩散；空穴由P区向N区扩散。由于它们均是带电粒子(离子)，因而电子由N区向P区扩散的同时，在交界面N区剩下不能移动(不参与导电)的带正电的杂质离子；空穴由P区向N区扩散的同时，在交界面P区剩下不能移动(不参与导电)的带负电的杂质离子，于是形成了空间电荷区。在P区和N区的交界处形成了电场(称为自建场)。在此电场作用下，载流子将作漂移运动，其运动方向正好与扩散运动方向相反，阻止扩散运动。电荷扩散得越多，电场越强，因而漂移运动越强，对扩散的阻力越大。

当达到平衡时，扩散运动的作用与漂移运动的作用相等，通过界面的载流子总数为0，即PN结的电流为0。此时，在PN区交界处形成一个缺少载流子的高阻区，我们称为阻挡层(又称为耗尽层)。上述过程如图1-6所示。

1.2.2 PN结的单向导电特性

在PN结两端外加不同方向的电压，就可以破坏原来的平衡，从而呈现出单向导电特性。